

# بررسی عملکرد نانوذره تیتانیوم دی اکسید نقره دوب (Ag/TiO<sub>2</sub>) در تخریب فتوکاتالیستی اریترومایسین

مریم پازکی\*<sup>+</sup>, رضا قاسمزاده, محمد یاوری, محمدعلی عبدالی

دانشکده محیط زیست, پردیس دانشکده های فنی, دانشگاه تهران, تهران, ایران

**چکیده:** در سال های اخیر و با پیشرفت فناوری در زمینه شناسایی آلاینده ها با غلظت ناچیز, آنتی بیوتیک اریترومایسین با غلظت های در مقیاس  $\mu\text{g/L}$  تا  $\text{ng/L}$  در ماتریس های زیست محیطی آبی شناسایی شده است. حضور اریترومایسین در چنین غلظت های ناچیزی مشاء بروز مخاطرات بسیاری برای محیط زیست می باشد که از جمله مهم ترین آن ها می توان به توسعه و گسترش مقاومت آنتی بیوتیکی اشاره کرد. در این پژوهش با رویکرد رفع محلودیت های استفاده از کاتالیست نوری نیمه رسانای  $\text{TiO}_2$ , برای نخستین بار نانوذره های تیتانیوم دی اکسید نقره دوب (Ag/TiO<sub>2</sub>) از کاتالیست تجاری تیتانیوم دی کسید دگوسا (P25-TiO<sub>2</sub>) با هدف افزایش راندمان فتوکاتالیست نسبت به نمونه تجاری نانوذره های تجاری تیتانیوم دی کسید دگوسا (P25-TiO<sub>2</sub>) با هدف افزایش راندمان فتوکاتالیست نسبت به نمونه تجاری در تخریب آلاند آنتی بیوتیکی اریترومایسین از روش رسوب نوری سنتر شد. نانوذره های سنتر شده با استفاده از آنالیزهای DRS و FE-SEM XRD مورد پیش از شناسایی مورد پژوهش قرار گرفته است. سپس عملکرد فتوکاتالیست سنتر شده با هدف بررسی تأثیر دوب کردن نقره در ساختار تیتانیا و با رویکرد بهینه سازی پارامترهای عملیاتی, تحت تابش های فرابنفش مورد ارزیابی قرار گرفت. میزان تخریب اریترومایسین در شرایط عملیاتی بهینه, تحت پرتو های فرابنفش برای نمونه Ag/TiO<sub>2</sub> ۷۶/۸٪ و برای نمونه تجاری برابر با ۴۰/۶٪ به دست آمد که این امر افزایش راندمان عملکرد نانوذره های سنتر شده را به نسبت نمونه تجاری به خوبی نشان می دهد. افزون بر این، اثر افزودن اکسید کننده قوی  $\text{H}_2\text{O}_2$  نیز به محیط واکنش مورد بررسی قرار گرفت که بر طبق نتیجه های به دست آمده, در غلظت بهینه  $\text{H}_2\text{O}_2$  فتوکاتالیست سنتر شده میزان تخریبی ۸۹/۳٪ را برای اریترومایسین نتیجه داد. بنابراین, با توجه به راندمان مناسب تخریب اریترومایسین ناشی از نانوذره های سنتر شده در این پژوهش از یک سو و ناچیز بودن فعالیت آنتی بیوتیکی فراورده های به دست آمده از تخریب اکسید اتیل اریترومایسین از سوی دیگر, استفاده از نانوذره های Ag/TiO<sub>2</sub> در تصفیه پساب دارای آلاند آنتی بیوتیکی اریترومایسین, به عنوان یک رویکرد نوین مطرح می باشد.

**واژه های کلیدی:** تخریب فتوکاتالیستی؛ آلاند آنتی بیوتیکی؛ اریترومایسین؛ فتوکاتالیست؛ پرتو اشعه فرابنفش.

**KEYWORDS:** Photocatalytic degradation; Antibiotic pollutants; Erythromycin; UV irradiation.

## مقدمه

مواد دارویی بخش بزرگی از مواد با خاصیت درمانی را در سرتاسر دنیا مورد استفاده قرار می گرفته اند [۱]. مواد دارویی پر مصرفی مانند داروهای ضدالتهاب، ضدیارداری، بتا بلکرها،

+E-mail: mpazoki@ut.ac.ir

تشکیل می دهند که طی قرن ها در بحث های پزشکی و دامپزشکی

\*عهده دار مکاتبات

در تصفیه پساب‌های دارای آلاینده‌های آنتی‌بیوتیکی و نیز پتاسیل بالای روش‌های اکسایش پیشرفتنه و به ویژه فتوکاتالیست‌های ناهمگن بر پایه  $TiO_2$  به عنوان یک فناوری نوین تصفیه آلاینده‌های نوظهور، اساس هدف‌گذاری این پروژه را تشکیل داده است. هدف اصلی در این پروژه، سنتر موقوفیت‌آمیز و تعیین ویژگی‌های نانوفتوکاتالیست تیتانیا نقره دوب<sup>(۱)</sup> با هدف برطرف کردن برخی محدودیت‌های فتوکاتالیست تیتانیا مانند فعالیت کم تحت تابش‌های فرابنفش و نیز نرخ بالای بازنترکیبی برای الکترون‌ها و حفره‌ها در آن بوده و در ادامه کاربرد نمونه سنتز شده در تخریب فتوکاتالیستی آلاینده آنتی‌بیوتیکی اریترومایسین<sup>(۲)</sup> (یکی از ده داروی پرفروش ایران بر اساس گزارش سازمان غذا و داروی ایران) مورد بررسی قرار می‌گیرد. افزون بر این، بهینه‌سازی پارامترهای عملیاتی مهم در فرایند مزبور شامل دوز کاتالیست، pH دما، غلظت اولیه آلاینده اریترومایسین و نیز بررسی اثر استفاده از یک اکسید کننده قوی ( $H_2O_2$ ) در فرایند، تحت تابش‌های فرابنفش مورد بررسی قرار گرفته است [۶].

### بخش تجربی

#### پساب دارای آنتی‌بیوتیک اریترومایسین

به منظور ایجاد پساب سنتزی مورد نظر در این پژوهش، به گونه‌ای که غلظت اریترومایسین در پساب توسط روش آنالیزی مورد استفاده با دقت مناسبی قابل شناسایی باشد، نخست میزان معینی اریترومایسین (۵، ۱۰ و ۲۱ میلی‌گرم) در ۲ میلی‌لیتر اتانول خالص حل شده و در دمای محیط به مدت ۱۰ دقیقه آلتراسونیک شد. تا آنتی‌بیوتیک به طور کامل یکنواخت در اتانول پراکنده شود. سپس محلول به دست آمده در ۶۰ mL هیدروکلریک اسید ۱/۱ نرمال حل شده و برای مدت زمان ۳۰ دقیقه در یخچال قرار داده شد. سپس، محلول به مدت ۲۰ دقیقه در دمای محیط توسط همزن مغناطیسی همزده شد. در زمان همزدن محلول مورد نظر، با استفاده از محلول سدیم هیدروکسید، pH محلول بین ۶ تا ۷ تنظیم شد. سپس محلول به دست آمده با استفاده از آب یون‌زدایی شده به حجم ۱ لیتر رسانده شده و پس از اختلاط کامل، تا زمان انجام آزمایش در یخچال و در دمای حدود ۴ °C نگهداری شد. رساندن حجم محلول به ۱ لیتر با استفاده از آب یون‌زدایی شده افزون بر ایجاد امکان صرف نظر از حجم مواد واسطه مصرفی به منظور احلال اریترومایسین، سبب ایجاد محلول هایی

(۱) Silver-doped titania

تنظیم کننده‌های چربی خون، آرامبیخش‌ها، ضدتشنج‌ها و داروهای آنتی‌بیوتیکی نمونه‌ای از این موارد می‌باشدند. در زمان و پس از طی فرایند درمان انسان و دام با استفاده از مواد دارویی، ترکیبی از این مواد به صورت شکل اصلی و یا متابولیزه شده دارو، از انسان و دام دفع شده و بدون توجه به مخاطره‌های احتمالی برای سلامت انسان، سایر موجودات زنده و محیط زیست وارد محیط‌های آبی می‌شوند. طیف گسترده مصرف این مواد سبب شده است که تاکنون بیش از ۳۰۰۰ نوع دارو در جهان‌های آبی در سرتاسر دنیا شناسایی شود. این مواد می‌توانند اثرهای جبران‌ناپذیری بر محیط‌های آبی وارد نمایند و در زمرة آلاینده‌های نوظهور به شمار می‌روند [۳ - ۱].

حضور مواد دارویی در محیط‌زیست می‌تواند بر باکتری‌ها، قارچ‌ها و دیگر ارگانیسم‌های طبیعی اثر بگذارد. به صورت کلی می‌توان سه سرنوشت را برای مواد دارویی که به محیط‌زیست راه پیدا می‌کنند شامل؛ ماده دارویی به صورت کامل به آب و کربن‌دی‌اکسید معدنی‌سازی شود، ترکیب دارویی به دلیل خاصیت چربی‌دوستی خود، به آسانی تخریب نشود و در لجن تهشیینی تصفیه‌خانه پساب باقی بماند و در پایان ماده دارویی به یک ترکیب با خاصیت آبدوست تبدیل شود و همراه با پساب به دست آمده از تصفیه‌خانه پساب به آب‌های سطحی و داخل رودخانه‌ها سرازیر شود [۶ - ۳].

یکی از مواد دارویی که در محیط‌زیست می‌توان یافت و مشکل‌های بسیاری نیز به وجود می‌آورند، آنتی‌بیوتیک‌ها می‌باشند. آنتی‌بیوتیک‌ها به ترکیب‌های شیمیایی گفته می‌شود که سایر میکروارگانیسم‌ها را از بین برده و یا از رشد آن‌ها جلوگیری می‌کند [۷]. زمانی که این گروه از مواد دارویی به شکل اولیه خود وارد محیط می‌شوند، به دلیل قرار گرفتن طولانی مدت باکتری‌های زیان‌آور و بیماری‌زا در معرض غلظت‌های کم آنتی‌بیوتیک، احتمال این که مقاومت در برابر آنتی‌بیوتیک‌ها افزایش یابد نیز می‌باشد [۸].

با وجود محسن بسیاری که نانوذره‌های تیتانیوم‌دی‌اکسید به تنهایی در تصفیه پساب‌های دارای مواد آلی دارا می‌باشند، وجود برخی اشکالات مانند بازده کوانتوسی کم سبب می‌شود که استفاده از این نانوذره‌ها در تصفیه پساب، بدون بهبود ساختار آن‌ها چندان منطقی نباشد. بدین منظور با استفاده از فلزها و یا ناقللزهای ساختار تیتانیا را بهبود می‌بخشند. ناکارآمدی روش‌های موجود

(۲) Erythromycin

پرتوهای فرابنفش انجام شده است. روش انجام طبق پژوهش پاکی<sup>(۵)</sup> و همکاران می‌باشد [۶].

## آنالیزها و اندازه‌گیری‌ها

در این پژوهش از اسپکتروفوتومتر UV/Vis مدل Photonix 2015 ساخت چین استفاده شد. همچنین به دلیل نیاز به دقت بالا در اندازه‌گیری غلظت آنتیبیوتیک اریتروماگیسین، در این پژوهش از کاوت با جنس کوارتز ساخت شرکت ایزولب<sup>(6)</sup> آلمان استفاده شد. همچنین از دستگاه میکروسکوپ الکترونی روشی گسیل میدانی (FE-SEM) HITACHI مدل SU3500 با قدرت تفکیک ۱۰ نانومتر در kV ۱۵ استفاده شد. بزرگنمایی مورد استفاده برای نمونه ها، ۱۵۰۰۰ برابر در نظر گرفته شد. دستگاه طیفسنجی پراش پرتو ایکس<sup>(8)</sup> استفاده شده در این پژوهش، مدل Shimadzu XRD-6000 با تابش پرتو Cu K $\alpha$  با طول موج  $\lambda$  برابر با ۱۵۴۱۸ nm در بازه ۲۰° تا ۸۰° درجه به منظور شناسایی پیک‌های مورد نظر بوده است. طیفسنجی بازتاب پخشی<sup>(9)</sup> توسط دستگاه اندازه‌گیری اسپکترومتر Avantes مدل Avaspec-2048-TEC اندازه‌گیری شد.

نتیجه و بحث

و نگه دنیا فتوکاتالیست سنتز شده

شکل ۱ تصویرهای ثبت شده توسط میکروسکوپ الکترونی روبیشی گسیل میدانی از دو نمونه  $TiO_2$ -P25 و  $Ag/TiO_2$  را نشان می‌دهد. همان‌گونه که دیده می‌شود، نانوذره‌های موجود در هر دو نمونه به تقریب به شکل کروی می‌باشند و در اندازه ذره‌ها تغییر محسوسی پس از دوپ شدن نقره در ساختار تیتانیوم‌دی‌اکسید دیده نمی‌شود. توزیع اندازه ذره‌ها نیز در هر دو نمونه به نسبت یکنواخت بوده همچنین با توجه به شکل ۱ دیده می‌شود که نانوذره‌های نقره طی فرایند رسوب نوری بر روی نانوذره‌های کروی تیتانیوم دی‌اکسید قرار گرفته‌اند. با توجه به این که نقره دارای عدد اتمی بیشتری به نسبت تیتانیوم و اکسیژن می‌باشد،

آزمایش‌های مورد نظر در این پژوهش می‌شود.

P25 د گوسا اکسید دی تیتانیوم فتو کاتالیست

در این پژوهش از فتوکاتالیست تجاری تیتانیوم دی اکسید دگوسا<sup>(۱)</sup> (P25-TiO<sub>2</sub>) به عنوان پایه کاتالیست برای سنتر نانوذرهای Ag/TiO<sub>2</sub> استفاده شد. در این پژوهه، فلز نقره به منظور اصلاح کننده<sup>(۲)</sup> ساختار تیتانیوم دی اکسید انتخاب شده است. دلیل این انتخاب، غیرسمی بودن، فعالیت کاتالیستی و ویژگی های آنتی باکتریالی چشمگیر این فلز می باشد. نقره در مقایسه با فلزهای دیگر، آسان تر در ساختار تیتانیوم دی اکسید قرار گرفته و برای دستیابی به اهداف تصفیه ای در صنعت بسیار مناسب می باشد. نقره همچنین با قرار گیری در ساختار تیتانیم، می تواند مانند یک تله الکترون عمل کرده و فرایندهای انتقال بار سطحی را در ترکیب افزایش دهد و بدین ترتیب سبب کاهش نوترکیبی جفت های الکترون - حفره (که در اثر تابش ایجاد می شود) شود و سرانجام فعالیت فتوکاتالیستی TiO<sub>2</sub> را افزایش دهد. همچنین گزارش شده است که نقره می تواند با گسترش طیف جذبی TiO<sub>2</sub>، امکان فعالیت فتوکاتالیستی آن در نور مرئی را نیز فراهم سازد. افون بر این ها، دیده شده است که Ag نقش بسیار مهمی را در افزایش پایداری فتوکاتالیستی TiO<sub>2</sub> بازی می کند [۱۲ - ۹].

## روش سنتز نانوذرهای Ag/TiO<sub>2</sub>

روش سنتز مورد استفاده در این پژوهش، روش رسوب نوری است که توسط ایلیو و همکاران<sup>(۳)</sup> انجام شده است. در این روش فتوکاتالیست  $\text{Ag}/\text{TiO}_2$  در اثر احیای نقره نیترات ( $\text{AgNO}_3$ ) در حضور اکسالیک اسید<sup>(۴)</sup> به عنوان الکترون دهنده در محلولی از فتوکاتالیست تجاری  $\text{TiO}_2\text{-P25}$  تولید شده و نقره به فرم فلزی ( $\text{Ag}^0$ ) بر روی سطح  $\text{TiO}_2\text{-P25}$  نشیند [۱۳].

## روش انعام فرایند تخریب فتوکاتالیستی اریترومایسین تحت تابش پرتو فرابنفش

در این پژوهش، تخریب فتوکاتالیستی اریترومایسین با استفاده از  $TiO_2-P25$  تجارتی و  $Ag/TiO_2$  سنتز شده، تحت تابش

#### (1) Dioxide Degussa

### (v) Modifier

(3) Iliev et al.

(f) Oxalic Acid

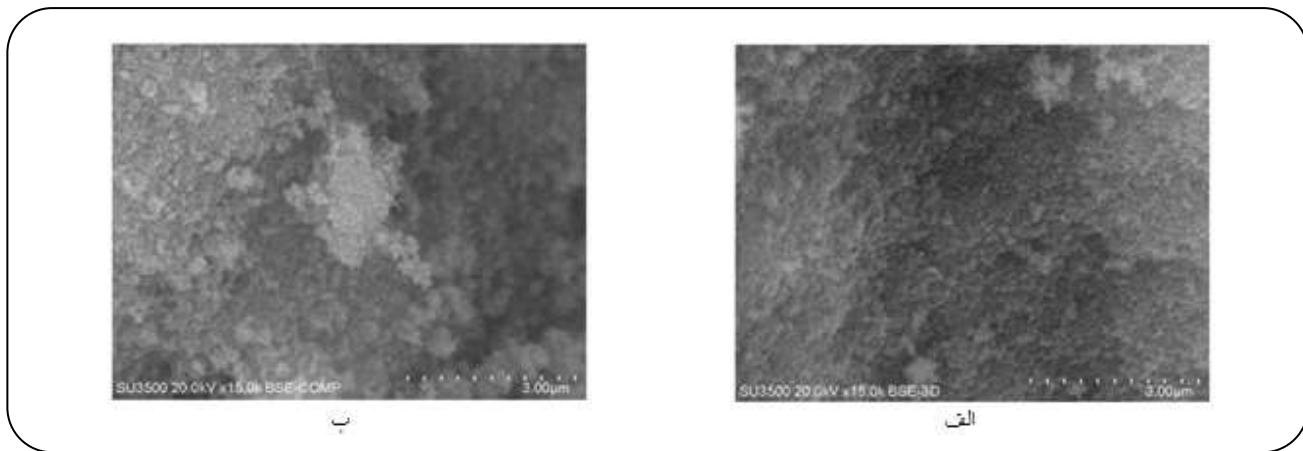
(5) Pazoki

(c) Izolab

(v) Field Emission Scanning Electron Microscope

#### (a) X-ray diffraction crystallography

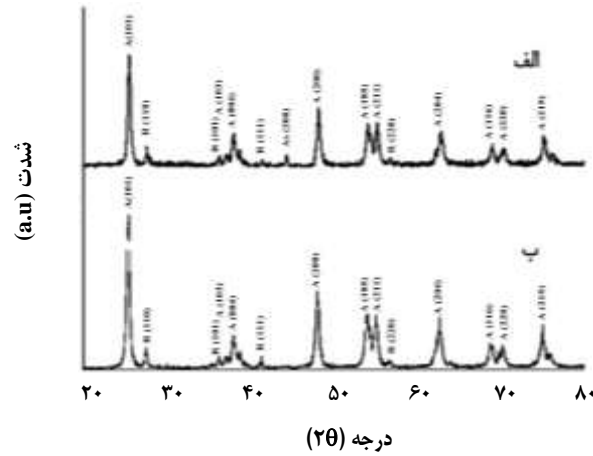
#### (4) Diffuse Reflectance Spectroscopy

شکل ۱- تصویرهای SEM از  $\text{TiO}_2\text{-P25}$  (الف) و  $\text{Ag-TiO}_2$  (ب) در یزگنمایی ۱۵۰۰۰ برابر.

به عنوان فتوکاتالیست بسیار دلخواه می‌باشد. با توجه به شکل الف، می‌توان وجود پیک ضعیفی در  $\theta = 44/40^\circ$  که مربوط به نقره فلزی (04-783-JCPDS) است را از یکسو و نبود پیک‌های مربوط  $\text{Ag}_2\text{O}$  و  $\text{AgO}$  در الگوی پراش پرتو ایکس نمونه سنتز شده را، نشان دهنده دوب شدن موققیت‌آمیز نقره به شکل  $\text{Ag}^\circ$  در ساختار کاتالیست دانست.

شکل ۳ طیف جذبی و بازتابشی را برای دو نمونه سنتز شده و تجاری تیتانیم دی‌اکسید در بازه طول موج ۳۰۰ تا ۸۰۰ نانومتر نشان می‌دهد. همان‌گونه که دیده می‌شود، نمونه تجاری تیتانیم دی‌اکسید در طول موج‌های کمتر از ۴۰۰ نانومتر دارای جذب نور می‌باشد که این امر به طور معمول به انتقال بار از تراز انرژی طرفیت به تراز انرژی هدایت در آن نسبت داده می‌شود.

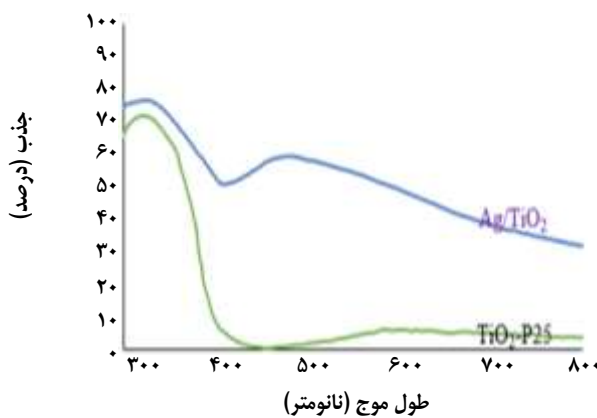
بنابراین نمونه تجاری در بازه‌ی طیف مرئی (طول موج بزرگ‌تر از ۴۰۰ نانومتر) جذب نور چشمگیری را از خود نشان نداده و آستانه جذب<sup>(۱)</sup> برای آن در ابتدای طول موج‌های مربوط به طیف مرئی می‌باشد. این در حالی است که با دوب شدن نقره در ساختار آن جذب رزونانسی پلاسمون چشمگیری در طول موج‌های بالاتر از ۴۰۰ نانومتر، تا انتهای بازه‌ی طیف مرئی (۸۰۰ نانومتر) و به ویژه در بازه ۴۰۰ تا ۶۰۰ نانومتر، برای نمونه سنتز شده، دیده می‌شود. جذب نور توسط فلز نقره دوب شده در ساختار تیتانیوم دی‌اکسید، باعث برانگیخته شدن نوری الکترون‌های آزاد موجود در لایه ظرفیت نانوذرهای نقره شده و درنتیجه سبب القای نوسان جمعی در این الکترون‌ها می‌شود. این پدیده بیشتر زمانی اتفاق می‌افتد که طول موج اشعه تابیده شده به نانوذرهای

شکل ۲- طیف XRD نانوذرات: (الف)  $\text{Ag}/\text{TiO}_2$  (ب)

نانوذرهای نقره از نانوذرهای تیتانیوم دی‌اکسید روشن‌تر به نظر رسیده و قابل شناسایی می‌باشند.

شکل ۲ الگوی پراش اشعه ایکس را برای نمونه دوب شده با نقره و نمونه تجاری را نشان می‌دهد. در این شکل که خروجی xpert high score plus\_philips (2/2) است، همان‌گونه که در شکل ترکیب فازها در  $\text{Ag-TiO}_2$  را دید. این کاتالیست پس از نشاندن نقره نشان داده شده است، این نسبت فاز آناتاز ۱۲ درصد فاز روتایل و نمونه تیتانیوم دی‌اکسید تجاری اولیه شامل ۲۰ درصد فاز روتایل و ۸۸ درصد فاز آناتاز بوده است. نسبت فاز آناتاز به روتایل در هر دو نمونه بیش از چهار برابر می‌باشد که این امر برای کاربرد این نانوذرهای

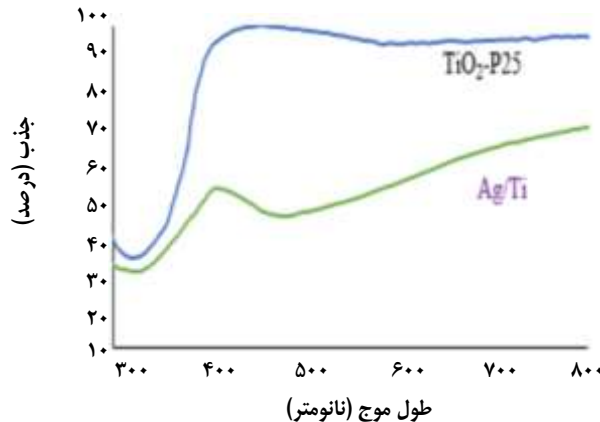
(۱) Absorption edge

شکل ۳- طیف جذبی و بازتابشی مربوط به نمونه‌های TiO<sub>2</sub>-P25 و Ag-TiO<sub>2</sub>

که در شکل ۴ دیده می‌شود، زمانی که میزان Ag/TiO<sub>2</sub> از ۰/۷۵ g/L به ۱/۵ g/L افزایش می‌یابد، راندمان تخریب فتوکاتالیستی اریترومایسین از ۴۹/۸ % به ۶۵/۷ % افزایش می‌یابد. با این حال افزایش بیشتر میزان Ag/TiO<sub>2</sub> به ۲/۵ g/L باعث کاهش راندمان تخریب تا ۵۹/۴ % می‌شود.

میزان بیشتر نانوذره‌های Ag/TiO<sub>2</sub> سبب افزایش کلی سطح ویژه کاتالیست و بهبود جذب نور توسط آن شده و در نتیجه باعث ایجاد سایتهازی فعال بیشتر و نیز تولید جفت الکترون - خفره‌های بیشتری می‌شود که در مجموع سبب افزایش راندمان تخریب کاتالیستی نوری اریترومایسین می‌شوند. با این وجود، استفاده از مقدارهای بیشتر نانوذره‌های Ag/TiO<sub>2</sub> سبب افزایش پراکندگی نور و در نتیجه کاهش نفوذ نور در کاتالیست و آکلومره شدن (برهمکنش نانوذره‌ها با یکدیگر) و تمنشین شدن ذره‌های کاتالیست می‌شود که مجموع این عامل‌ها منجر به کاهش راندمان تخریب کاتالیستی نوری می‌شود. میزان بهینه برای اریترومایسین برابر با ۱/۵ g/L (۶۰۰ mL در ۰/۹ g) به دست آمد که از این مقدار در ادامه برای تعیین مقدار بهینه سایر پارامترها استفاده شده است.

شکل ۵ تأثیر پارامتر pH را در تخریب اریترومایسین با غلظت اولیه ۱۵ mg/L، توسط Ag/TiO<sub>2</sub> با میزان کاتالیست بهینه شده ۱/۵ g/L تحت تابش نور UV، در دمای ۳۰ °C و مدت زمان ۲۴۰ دقیقه نشان می‌دهد. با توجه به نتیجه‌های به دست آمده در آزمایش‌ها، دیده می‌شود که راندمان تخریب کاتالیستی نوری در pH خنثی (pH=۷/۴) مقدار بیشینه برابر ۶۴/۵۹ % را به دست داده است.



نقره به مراتب بیشتر از قطر نانوذره‌های نقره باشد. بنابراین، جذب نور در طیف مرئی توسط نانوذره‌های Ag-TiO<sub>2</sub> می‌تواند ناشی از برانگیخته شدن الکترون‌های موجود در باند ظرفیت تیتانیوم دی اکسیدی باشد که انرژی مورد نیاز خود را از سطوح محلی انرژی تولید شده توسط نانوذره‌های نقره در شکاف انرژی تیتانیوم دی اکسید دریافت کرده‌اند.

#### عملکرد فتوکاتالیست Ag/TiO<sub>2</sub> تحت تابش نور UVC

با توجه به تأثیر چشمگیر شرایط عملیاتی بر روی عملکرد نانوفتوکاتالیست Ag/TiO<sub>2</sub> در تخریب آنتی‌بیوتیک اریترومایسین، بررسی عملکرد نانوفتوکاتالیست سنتز شده Ag/TiO<sub>2</sub> تحت تابش نور فرابنفش با هدف بهینه‌سازی پارامترهای عملیاتی دارای اهمیت برای آن و نیز مقایسه راندمان عملکرد آن با TiO<sub>2</sub>-P25 تجاری در شرایط عملیاتی بهینه، تحت تابش نور UV انجام شده است. راندمان تخریب اریترومایسین و سیتیک مربوطه با استفاده از تغییرهای ایجاد شده در چگالی نوری (جذب) اریترومایسین در پیک مشخصه ای ۵۳۵ nm محاسبه و ثبت شده است.

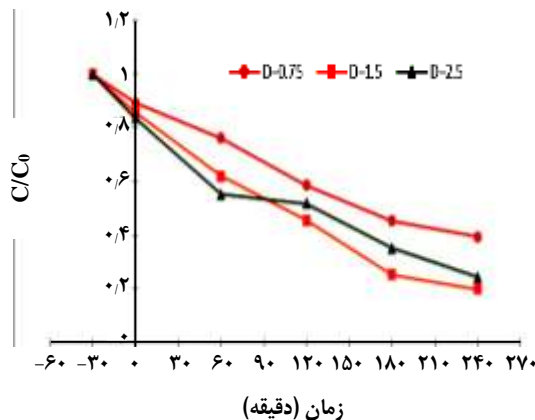
#### مقایسه عملکرد فتوکاتالیست TiO<sub>2</sub>-P25 با Ag/TiO<sub>2</sub> تحت تابش نور UVC

میزان کاتالیست پارامتر بسیار مهمی است که تعیین دقیق میزان بهینه آن در هر واکنش فتوکاتالیستی ضروری می‌باشد. میزان بهینه کاتالیست به طبیعت آلانده و ژئومتری راکتور وابسته می‌باشد. شکل ۴ روند تخریب فتوکاتالیستی اریترومایسین را در شرایط عملیاتی بالا و در مدت زمان ۲۴۰ دقیقه نشان می‌دهد. همان‌گونه

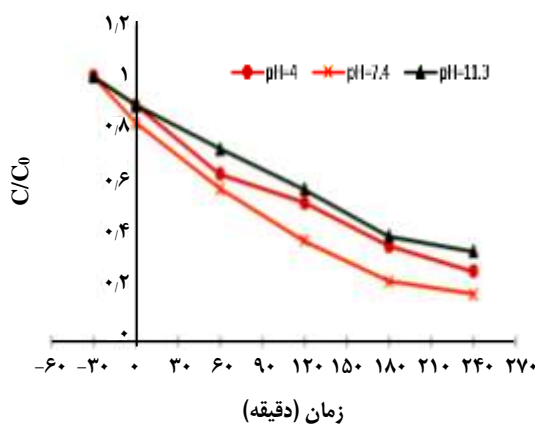
همچنین میزان تخریب در محیط اسیدی ( $\text{pH}=4$ ) برابر با  $62/85\%$  و در محیط بازی ( $\text{pH}=11/3$ ) برابر  $55/23\%$  به دست آمده است. در بازه  $\text{pH}<8/85$  اریترومایسین دارای بار مثبت و  $\text{Ag/TiO}_2$  دارای بار منفی می‌باشند. بنابراین با توجه به نیروی جاذبه الکترواستاتیک ناشی از حالت‌های یونیزاسیون کاتالیست و آلاینده، آلاینده بیشتری بر روی کاتالیست جذب شده و راندمان تخریب کاتالیستی نوری بیشینه می‌باشد. در  $\text{pH}$ ‌های  $6/2$  و  $8/85$  اریترومایسین هر دو دارای بار مثبت و در  $\text{pH}$ ‌های  $4$  و  $11/3$  اریترومایسین هر دو دارای بار منفی بوده و بنابراین نیروی دافعه ایجاد شده سبب کاهش راندمان واکنش کاتالیستی نوری می‌شود.

در شکل ۶ دیده می‌شود، میزان تخریب اریترومایسین که در حجم عملیاتی  $600 \text{ mL}$  مقدار کاتالیست بهینه  $1/5 \text{ g/L}$  بهینه  $7/4$  و غلظت اولیه اریترومایسین برابر با  $15 \text{ mg/L}$  با افزایش دما از  $38^\circ\text{C}$  به  $41^\circ\text{C}$  از  $63/05\%$  به  $65/4\%$  افزایش یافته و در ادامه با افزایش بیشتر دما تا  $82^\circ\text{C}$ ، با حصول درصد تخریب  $64/9\%$  کاهش اندکی را نشان می‌دهد. یکی از برتری‌های اصلی واکنش‌های کاتالیستی نوری، عملکرد مناسب آن‌ها در شرایط محیطی می‌باشد. از سوی دیگر، با توجه به اینکه دمای بهینه به دست آمده برای این واکنش، تحت تابش نور مرئی (نور خورشید) قابل دستیابی بوده و مصرف انرژی بیش از اندازه‌ای را طلب نمی‌کند، دمای  $41^\circ\text{C}$  به عنوان دمای بهینه انجام واکنش انتخاب شده و در ادامه به منظور بهینه‌سازی اثر غلظت اولیه آنتی بیوتیک و محاسبه‌های مربوط به سینتیک واکنش، مورد استفاده قرار گرفت.

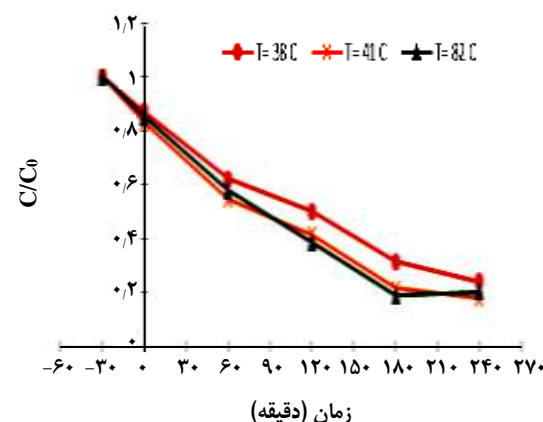
**اثر غلظت اولیه آنتی بیوتیک و بررسی سینتیک واکنش**  
تأثیر غلظت اریترومایسین بر روی فرایند تخریب کاتالیستی نوری با استفاده از  $\text{Ag/TiO}_2$ ، با تغییر غلظت اریترومایسین از  $10$  تا  $20 \text{ mg/L}$  در شرایط عملیاتی بهینه به دست آمده  $1/5 \text{ g/L}$   $\text{Ag/TiO}_2$  ( $\text{pH}=7/4$ ،  $1/5 \text{ g/L}$   $\text{Ag/TiO}_2$  و دما  $41^\circ\text{C}$ ) بررسی شد. همان‌گونه که در شکل ۷ دیده می‌شود، راندمان تخریب برای غلظت‌های اریترومایسین  $10$ ،  $15$  و  $20 \text{ mg/L}$  به ترتیب برابر با  $73/6\%$  و  $54/5\%$  به دست آمد. بنابراین به طور کلی می‌توان گفت که با افزایش غلظت اریترومایسین راندمان تخریب کاهش می‌یابد.



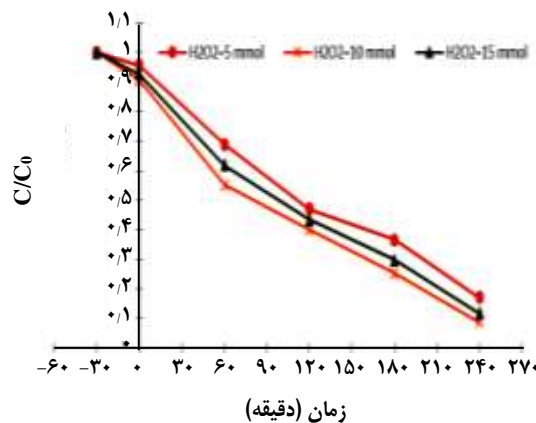
شکل ۴- تخریب اریترومایسین در دوزهای گوناگون کاتالیست  $\text{Ag/TiO}_2$  تحت تابش UVC.



شکل ۵- تخریب اریترومایسین در  $\text{pH}$ ‌های مختلف با استفاده از  $\text{Ag/TiO}_2$  تحت تابش UVC.



شکل ۶- تخریب اریترومایسین در دماهای مختلف با استفاده از  $\text{Ag/TiO}_2$  تحت تابش UVC.



شکل ۸ - تخریب اریترومایسین در غلظت های مختلف H<sub>2</sub>O<sub>2</sub> با استفاده از Ag/TiO<sub>2</sub> تحت تابش UVC.

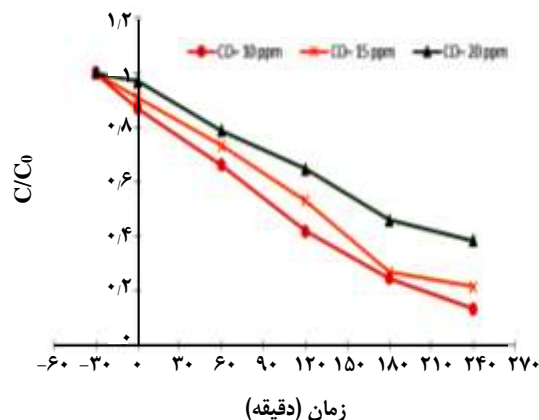
سه غلظت H<sub>2</sub>O<sub>2</sub> برابر با ۵ و ۱۰ mg/L و ۱۵ mg/L انجام شده است. شکل ۸ نتیجه های به دست آمده از افزودن H<sub>2</sub>O<sub>2</sub> در شرایط عملیاتی بهینه برای کاتالیست سنتز شده Ag/TiO<sub>2</sub> تحت تابش UV را نشان می دهد.

همان گونه که در شکل ۸ دیده می شود، با افزایش غلظت H<sub>2</sub>O<sub>2</sub> از ۵ mg/L به ۱۰ mg/L، میزان تخریب از ۷۸/۶٪ به ۸۱/۹٪ افزایش می یابد. همچنین، افزایش بیشتر غلظت H<sub>2</sub>O<sub>2</sub> تا ۱۵ mg/L سبب کاهش راندمان تخریب تا ۸۰/۹٪ می شود. علت کاهش راندمان می تواند ناشی از واکنش H<sub>2</sub>O<sub>2</sub> اضافی موجود در محیط با OH<sup>-</sup> و نیز حفره های تشکیل شده در سطح کاتالیست باشد.

#### مقایسه عملکرد کاتالیست نوری Ag/TiO<sub>2</sub> با P25 تحت تابش نور UV-C

شکل ۹ روند تخریب کاتالیستی نوری با استفاده از Ag/TiO<sub>2</sub>-P25 تجاری و حالت بی کاتالیست را در شرایط عملیاتی بهینه به دست آمده در بخش پیش (مقدار کاتالیست ۱/۵ g/L، pH=۷/۴ درجه C و غلظت اولیه آنتی بیوتیک ۱۰ mg/L) با استفاده از نور فرابنفش را نشان می دهد.

همان گونه که در شکل ۹ دیده می شود، راندمان تخریب نوری (فتولیز) اریترومایسین تحت تابش UV-C با طول موج بیشینه nm ۲۵۴، پس از ۲۴۰ دقیقه در حدود ۷۷٪ می باشد که این میزان تخریب دیده شده می تواند ناشی از جذب طول موج های تابیده شده در بازه UV-C توسط اریتروماسین و تخریب جزئی آن باشد. انرژی فوتون های تابیده شده توسط



شکل ۷- تخریب اریترومایسین در غلظت های گوناگون آلانده آنتی بیوتیکی با استفاده از Ag/TiO<sub>2</sub> تحت تابش UVC.

با افزایش غلظت اریترومایسین در محلول، بخشی از نور تابیده شده توسط مولکول های اریترومایسین جذب شده و راندمان عملکرد تخریب کاتالیستی نوری کاهش می یابد. اریترومایسین به دلیل آن که گروه های کروموفری در حلقه اشباع آلیاتیک ندارد، تنها می تواند طول موج های زیر ۲۹۰ nm جذب کند که با توجه به این که در این پژوهش از لامپ UV-C استفاده می شود، این مکانیسم محتمل می باشد. همچنین با کدرتر شدن پساب سنتیک، میزان نفوذ فوتون ها به درون محلول کاهش یافته و با کاهش شار فوتونی، میزان رادیکال های هیدروکسیل تولید شده نیز کاهش می یابند. از سوی دیگر، در غلظت های بالاتر، با پیشرفت واکنش و پیدایش فراورده های تخریبی بیشتر اریترومایسین در جذب سطحی بر روی سطح کاتالیست رقابت کرده از میزان جذب سطحی اریترومایسین بر روی سطح کاتالیست کاسته و سرانجام موجب کاهش راندمان عملکرد تخریب اریترومایسین می شوند. همچنین وجود آلانده با غلظت بیشتر در محیط واکنش سبب اشغال سایت های فعلی بیشتری از کاتالیست توسعه آلانده شده و این امر سبب کاهش تولید گونه های فعال واکنش دهنده توسعه کاتالیست می شود.

#### اثر افزودن H<sub>2</sub>O<sub>2</sub>

در این پژوهش به منظور بررسی اثر افزودن H<sub>2</sub>O<sub>2</sub>، آزمایش ها در شرایط عملیاتی بهینه به دست آمده در بخش های پیش (مقدار Ag/TiO<sub>2</sub> برابر با ۱/۵ g/L pH=۷/۴ درجه C و غلظت اولیه اریتروماسین ۱۰ mg/L در حجم عملیاتی ۶۰۰ mL) برای

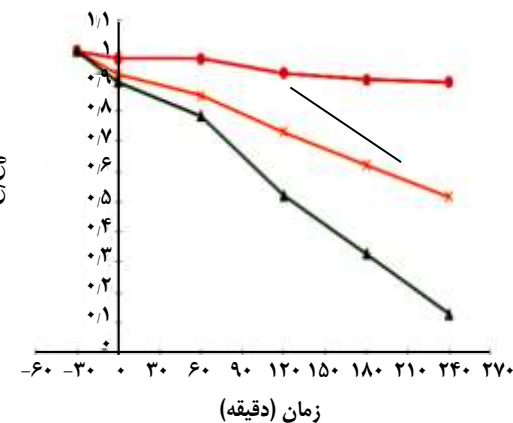
خاصی رسیده‌اند و به خصوص مولکول‌های بزرگ‌تر که هر کدام به هشت مولکول کوچک‌تر تبدیل شده‌اند ولی باز هم پساب دارای اریترومایسین دارای COD بالا و در عین حال خاصیت تجزیه‌پذیری ضعیف بود. همچنین در سال ۲۰۱۴ میلادی نیز ویگنس<sup>(۲)</sup> و همکاران تخریب کاتالیستی نوری اریترومایسین را تحت نور مرئی به وسیله نانو مواد تیتانیوم اصلاح شده توسط روی‌فتالوسیانین<sup>(۳)</sup> را مورد بررسی قرار دادند و در نتیجه به این مهم رسیدند که فعالیت کاتالیستی نوری Znpc-TiO<sub>2</sub> ۷۴٪ و خیلی زیادتر از TiO<sub>2</sub> به میزان Znpc-TiO<sub>2</sub> ۳۱.۵٪ بوده است و در کنار این‌ها، کاتالیست نوری Znpc-TiO<sub>2</sub> پایدار بوده و می‌تواند چندین بار مورد استفاده قرار گیرد.

### نتیجه‌گیری

در این مطالعه، نانوذره‌های Ag/TiO<sub>2</sub> با اسفاده از روش رسوب نوری سنتز شده‌اند. در ادامه با استفاده از آنالیزهای XRD و DRS ویژگی‌های ذره‌های سنتز شده و موققیت‌آمیز بودن سنتز نانوذره‌های به اثبات رسیده است. در ادامه عملکرد نانوذره‌های سنتز شده تحت تابش نور UVC با هدف ارزیابی تأثیر دوب کردن نقره بر روی راندمان عملکرد TiO<sub>2</sub>-P25 تجاری و با رویکرد بهینه‌سازی پارامترهای عملیاتی مورد بررسی قرار گرفت. با ۲۴۰ دقیقه تابش نور UVC شرایط عملیاتی بهینه با راندمان تخریب ۶۵٪ در دوز کاتالیست ۴۱ °C دمای pH=۷/۴، ۱/۵ g/L میزان ۴۷۰ kJ/mol با افزایش ۸۹٪ به دست آمد. همچنین با افزودن میزان دوز بهینه (۱۰ mg/L) اکسید کننده قوی H<sub>2</sub>O<sub>2</sub> در شرایط عملیاتی بهینه واکنش، میزان تخریب تحت تابش نور UVC به ۸۹٪ تأثیر دارد. پس از بهینه‌سازی پارامترهای مهم انجام شده را نشان داد. در غلظت‌های گوناگون آنتی‌بیوتیک نیز شبه درجه اول بودن واکنش در نظر گرفته شد. بررسی سینتیک واکنش انجام شده در غلظت‌های گوناگون آنتی‌بیوتیک نیز شبه درجه اول بودن واکنش انجام شده را نشان داد. پس از بهینه‌سازی پارامترهای عملیاتی، به منظور ارزیابی تأثیر دوب کردن نقره بر روی راندمان کاتالیست نوری سنتز شده، عملکرد Ag/TiO<sub>2</sub> در شرایط عملیاتی بهینه بدست آمده با نمونه تجاری TiO<sub>2</sub>-P25 و نیز حالت بدون کاتالیست تحت تابش نور UVC (فتولیز) مقایسه شد. به دست آمدن درصد تخریب ۷۷٪ و ۷۶٪ به ترتیب برای حالت بدون کاتالیست و نیز استفاده از TiO<sub>2</sub>-P25 در شرایط عملیاتی بهینه برای Ag/TiO<sub>2</sub> نشان‌دهنده افزایش بیش از ۸۹٪ درصدی راندمان عملکرد نانوذره‌های Ag/TiO<sub>2</sub> نسبت به نمونه تجاری می‌باشد.

(۱) Chen

(۲) Vignesh



شکل ۹- تخریب اریترومایسین توسط فتوبلیز UV-C تحت تابش C.

پرتو UV-C به تنها برابر با ۴۷۰ kJ/mol بوده و این میزان انرژی توانایی شکستن جزئی برخی پیوندهای موجود در درشت مولکول اریترومایسین را دارد. با افزودن TiO<sub>2</sub>-P25 تجاری و تکرار آزمایش در شرایط بهینه به دست آمده برای Ag/TiO<sub>2</sub> درصد تخریب به ۴۰٪ می‌رسد. این در حالی است که استفاده از کاتالیست نوری سنتز شده در این پژوهش در شرایط عملیاتی بهینه، درصد تخریب کاتالیستی نوری اریترومایسین تحت تابش نور راندمان تخریب کاتالیستی نوری اریترومایسین معادل ۷۶٪ را به دست می‌دهد. بنابراین UV-C با دوب کردن نقره در ساختار TiO<sub>2</sub>-P25 تجاری به میزان چشمگیری (۸۹٪) افزایش یافته است.

افزایش چشمگیر میزان تخریب کاتالیستی نوری اریترومایسین توسط Ag/TiO<sub>2</sub> تحت تابش نور UV-C، به اثرهای برآمده از عملکرد نقره به عنوان تله الکترون مربوط می‌شود که باعث بهبود جدایش الکترون‌ها و حفره‌های ایجاد شده در سطح کاتالیست و در نتیجه انتقال الکترون‌های به دام افتاده به اکسیژن (بنزیرنده الکترون) جذب سطحی شده بر روی کاتالیست می‌شود. شایان ذکر است که تحت تابش نور UV-C، پلاسمون رزونانس سطحی محلی برای ذره‌های نقره برانگیخته نشده و تأثیری در واکنش کاتالیستی نوری ندارد.

پیش از این نیز تعدادی پژوهش در رابطه با تخریب آنتی‌بیوتیک اریترومایسین انجام شده است. برای نمونه چن<sup>(۱)</sup> و همکاران بر روی تخریب اریترومایسین پساب به وسیله روش فتوون کار کردند و به این نتیجه رسیدند که مولکول به یک به هم ریختگی

(۳) Zinc Phthalocyanine

با توجه به راندمان چشمگیر تخریب به دست آمده می‌توان مؤثر بودن روش به کار رفته در تخریب اریترومایسین را در پیش‌گیری از گسترش مقاومت آنتی‌بیوتیکی نسبت به اریترومایسین در ماتریس‌های زیست محیطی نتیجه‌گیری کرد.

تاریخ دریافت: ۱۳۹۷/۲/۱۰؛ تاریخ پذیرش: ۱۳۹۶/۵/۹

## مراجع

- [1] Klavarioti M., Mantzavinos D., Kassinos D., Removal of Residual Pharmaceuticals from Aqueous Systems by Advanced Oxidation Processes, *Environment International*, **35**(2): 402-417 (2009).
- [2] Kümmerer K., Antibiotics in the Aquatic Environment—a Review—Part I, *Chemosphere*, **75**(4): 417-434 (2009).
- [3] Apollo S., Onyongo M. S., Ochieng A., UV/H<sub>2</sub>O<sub>2</sub>/TiO<sub>2</sub>/Zeolite Hybrid System for Treatment of Molasses Wastewater, *Iranian Journal of Chemistry and Chemical Engineering (IJCCE)*, **33**(2): 107-117 (2014).
- [4] Walters E., McClellan K., Halden R.U., Occurrence and Loss over Three Years of 72 Pharmaceuticals and Personal Care Products from Biosolids-Soil Mixtures in Outdoor Mesocosms, *Water Research*, **44**(20): 6011-6020 (2010).
- [5] Galus M., Jeyaranjaan J., Smith E., Li H., Metcalfe C., Wilson J.Y., Chronic Effects of Exposure to a Pharmaceutical Mixture and Municipal Wastewater in Zebrafish, *Aquatic Toxicology*, **132**: 212-222 (2013).
- [6] Pazoki M., Parsa M., Farhadpour R., Removal of the Hormones Dexamethasone (DXM) by Ag Doped on TiO<sub>2</sub> Photocatalysis, *Journal of Environmental Chemical Engineering*, **4**(4): 4426-4434 (2016).
- [7] Kazemi E., Shabani A. M. H., Dadfarnia S., Application of Graphene Oxide-Silica Composite Reinforced Hollow Fibers as a Novel Device for Pseudo-Stir Bar Solid Phase Microextraction of Sulfadiazine in Different Matrices Prior to Its Spectrophotometric Determination, *Food Chemistry*, **221**: 783-789 (2017).
- [8] Gao P., Munir M., Xagoraraki I., Correlation of Tetracycline and Sulfonamide Antibiotics with Corresponding Resistance Genes and Resistant Bacteria in a Conventional Municipal Wastewater Treatment Plant, *Science of the Total Environment*, **421**: 173-183 (2012).
- [9] Bulgakova V.G., Vinogradova K.A., Orlova T.I., Kozhevnik P.A., Polin A.N., Action of Antibiotics as Signalling Molecules, *Antibiotics and Chemotherapy [sic]*, **59**(1-2): 36-43 (2014).
- [10] Koltsakidou A., Antonopoulou M., Evgenidou E., Konstantinou I., Giannakas A.E., Papadaki M., Bikaris D., Lambropoulou, D.A., Photocatalytical Removal of Fluorouracil Using TiO<sub>2</sub>-P25 and N/S Doped TiO<sub>2</sub> Catalysts: A Kinetic and Mechanistic Study, *Science of The Total Environment*, **578**: 257-267 (2017).

- [11] Wang C., Liu H., Liu Y., Jiang, C., Comparative Activity of TiO<sub>2</sub> Microspheres and P25 Powder for Organic Degradation: Implicative Importance of Structural Defects and Organic Adsorption, *Applied Surface Science*, **319**: 2-7 (2014).
- [12] Mino L., Zecchina A., Martra G., Rossi A.M., Spoto, G., A Surface Science Approach to TiO<sub>2</sub> P25 Photocatalysis: an in Situ FT-IR Study of Phenol Photodegradation at Controlled Water Coverages from Sub-Monolayer to Multilayer, *Applied Catalysis B: Environmental*, **196**: 135-141 (2016).
- [13] Iliev V., Tomova D., Rakovsky S., Eliyas A., & Puma G. L, Enhancement of Photocatalytic Oxidation of Oxalic acid by Gold Modified WO<sub>3</sub>/TiO<sub>2</sub> Photocatalysts under UV and Visible Light Irradiation, *Journal of Molecular Catalysis A: Chemical*, **327**(1): 51-57 (2010).
- [14] Chen N., Huang LJ., Liu N., Liu Y., Wang SF., Analysis of the Effect of Erythromycin Wastewater Degradation by Fenton Method, *Asian Journal of Chemistry*, **25**(13): 7208-7210, (2013).
- [15] Vignesh K., Rajarajan M., Suganthi, A., Photocatalytic Degradation of Erythromycin under Visible Light by Zinc Phthalocyanine-Modified Titania Nanoparticles, *Materials Science in Semiconductor Processing*, **23**: 98-103, (2014).